





دانشگاه تبریز

دانشکده فیزیک

گروه فیزیک اتمی و مولکولی

پایان نامه

برای دریافت درجه کارشناسی ارشد در رشته فیزیک-لیزر

عنوان

کاربرد روش اپتیک فعال در کاهش ابیراهی و تصحیح جبهه موج در تلسکوپ اشمیت - کاسگرین

اساتید راهنما

دکتر ابراهیم صفری

دکتر میر حجت کرمانی

پژوهشگر

حبیبه پور حسن

شهریور ۱۳۹۳

تقدیم به

مقدس ترین واژه‌های زنگی ام

پر و ماد عزیزم

ما حصل آموخته‌ایم را تقدیم می‌کنم

به آمان که مهر آسمانی شان آرام بخش آلام زینی ام است

به استوار ترین نکیه گاهم، دستان پر مهر پدرم

به سبزترین نگاه زنگیم، چمان سبز مادرم

که هرچه آموختم در کتب غش شما آموختم و هرچه بکوشم قدره‌ای از دریای بی کران مهر بیانان را پاس توانم بکویم

امروز هستی ام به امید شماست و فردا گمید باغ بهشم رضای شما

ره آوردی گران سک تراز این ارزان نداشتم تا به خاک پیاتان شارکنم، باشد که حاصل تلاشمن نیم کون غبار حکیمی تان را بزداید.

بوسه بر دستان پر مهر تان

مشکر و قدر دانی

به مصدق «من لم يشكِّر المخلوقَ لم يشكِّر الخالقَ» بسی شایسته است از اساتید

جناب آقیان دکتر ابراهیم صفری و دکتر میرجحت کرمانی اساتید راهنمای این بنده که با کرامتی چون خورشید، سرزمین دل را روشنی
بخشیدند و گفشن سرای علم و دانش را بار اهمیتی های کارساز و سازنده بارور ساختند؛ تقدیر و مشکر نمایم.

(ویزکیم و یعلمم الکتاب و الحکم).

معلم مقامت ز عرش بر ترباد همیشه تو سن اندریشه ات مظفر باد

به گفته های دلاویز و گفته های بلند صحیفه های سخن از تو علم پرور باد
پنهنین از پر و مادر عزیز، دلوز و مهربانم و خانوداه عزیزم که آرامش روحی و آسایش فکری فراهم نمودند تا با حیات های به جانبه د
محیطی مطلوب، مراتب تحصیلی و نیز پیان نامه درسی را به نحو احسن به تمام برسانم؛ پاسکزاری نمایم.

مشکر خدا که هر چه طلب کردم از خدا بر من تایی بست خود کامران شدم.

نام خانوادگی دانشجو: پورحسن نام: حبیب عنوان پایان نامه: کاربرد روش اپتیک فعال در کاهش ابیراهی و تصحیح جبهه موج در تلسکوپ اشمیت – کاسگرین اساتید راهنمای: دکتر ابراهیم صفری و دکتر میر حجت کرمانی مقطع تحصیلی: کارشناسی ارشد رشته: فیزیک گرایش: لیزر دانشگاه: تبریز دانشکده: فیزیک تاریخ فارغ التحصیلی: شهریور ۱۳۹۳ تعداد صفحه: ۱۲۸ کلید واژه: تلسکوپ، اپتیک فعال، ابیراهی، جبهه موج، اشمیت - کاسگرین
چکیده: فناوری اپتیک فعال نقش موثری را، در پیشرفت تلسکوپ‌های بازتابی بر عهده دارد. این فناوری با تقلیل اثرات ناشی از عوامل خارجی همچون گرانشی، گرمایی و ... امکان ساخت تلسکوپ‌های با قطربزرگ را فراهم می‌سازد. استفاده از این فناوری، دستیابی به سامانه‌های با کیفیت بالا که به عنوان یک ضرورت در طراحی سامانه اپتیکی مطرح‌اند را امکان‌پذیر می‌سازد. تصویری با کیفیت بالا توسط سامانه اپتیکی، زمانی ایجاد می‌شود که میزان ابیراهی‌ها در آن به حداقل رسیده باشند. برای این منظور سامانه اپتیکی مورد نظر را توسط نرم‌افزار اسلو شبیه‌سازی و سپس با استفاده از روابط جمع‌سیدل، میزان ابیراهی‌ها را در سطوح اپتیکی محاسبه کرده‌ایم. پس از آن با به‌دست آوردن میزان تغییرات لازم بر روی سطوح اپتیکی، تغییرات را در نرم‌افزار اعمال کرده و جبهه موج تشکیل شده به‌وسیله آرایش اپتیکی را، مورد بررسی و مطالعه قرار دادیم. برای مطالعه جبهه موج از چند جمله‌ای‌های زرنيک استفاده کرده و کیفیت تصویر تشکیل شده را توسط طرح نقطه‌ای، منحنی‌های برخورد پرتو و تابع پخش‌شدگی مورد سنجش قرار دادیم. با بررسی مکانیزم کاهش ابیراهی‌ها و افزایش کیفیت تصویر تشکیل یافته، از طریق روش‌های مذکور که کارآیی اپتیکی سامانه را بیان می‌کنند، توانستیم بدین ترتیب برای طراحی بهینه سامانه‌های اپتیکی بهره‌برداری کنیم.

۱.....	مقدمه
۱-بررسی منابع	
۵.....	۱-تاریخچه ساخت تلسکوپ
۸.....	۱-اپتیک فعال
۹.....	۱-۲-۱-ساختار اپتیک فعال
۱۲.....	۱-۲-۱-فرکانس فضایی
۱۳.....	۱-حسگر
۱۴.....	۱-۳-۱-حسگرنوری
۱۵.....	۱-۳-۲-آنواع حسگر در اپتیک فعال
۱۵.....	۱-۳-۳-۱-حسگر جبهه موج
۱۶.....	۱-۳-۳-۲-آزمون هارتمن
۱۸.....	۱-۳-۳-۳-۱-حسگر جبهه موج هارتمن
۱۹.....	۱-Shack- Hartmann
۲۱.....	۱-آشکارساز CCD
۲۲.....	۱-بازسازی جبهه موج
۲۴.....	۱-۵-۱-چند جمله ای زرنیک
۲۶.....	۱-۶-۱-عوجه و پرتو
۲۹.....	۱-۷-۱-ابراهی
۳۰.....	۱-۸-۱-چند جمله ای ابیراهی
۳۴.....	۱-۸-۱-۱-ابیراهی کروی
۳۷.....	۱-۸-۲-۱-کما
۳۸.....	۱-۸-۳-۱-آستیگماتیسم و انحنای میدان
۴۱.....	۱-۸-۴-۱-واپیچش
۴۲.....	۱-۹-۱-محاسبه ای از جمع سیدل

۲-مبانی و روش ها

۴۷	۲-۱-مقدمه
۴۷	۲-۲-ردیابی پرتو
۵۰	۲-۳-توان اپتیکی
۵۰	۲-۲-۱-توان آینه در محیطی با ضریب شکست n
۵۱	۲-۲-۳-توان سامانه های ترکیبی
۵۲	۲-۳-۳-توان تلسکوپ دو آینه ای
۵۲	۲-۴-مخروط سان ها
۵۴	۲-۵-طراحی تلسکوپ دو آینه ای
۵۷	۲-۶-تئوری مرتبه سوم برای تلسکوپ دو آینه ای
۵۷	۲-۶-۱-تعريف کلی
۵۸	۲-۶-۲-محاسبه ابیراهی های آینه اصلی
۶۰	۲-۶-۳-محاسبه ابیراهی های آینه دوم
۶۴	۲-۶-۴-ابیراهی های سامانه دو آینه ای
۶۵	۲-۶-۵-سامانه استیگماتیسم
۶۶	۲-۶-۶-سامانه آپلانتیک
۶۶	۲-۶-۷-سامانه پادآستیگمات
۶۷	۲-۷-تلسکوپ اشمیت- کاسگرین
۶۹	۲-۸-تئوری تیغه غیرکروی
۷۰	۲-۹-تیغه تصحیح کننده برای تمرکز کاسگرین
۷۲	۲-۹-۱-تلسکوپ Quasi-RC
۷۳	۲-۱۰-ارزیابی تصویر
۷۴	۲-۱۱-نمایش منحنی های برخورد پرتو و آنالیز برداری
۷۴	۲-۱۲-طرح نقطه ای

۷۶.....	۱۲-۲ آنالیز اندازه لکه
۷۸.....	۱۳-۲ آنالیز جبهه موج
۷۹.....	۱۴-۲ تابع پخش شدگی
۸۱.....	۱۴-۲ تبدیل سریع فوریه

۳-نتایج و بحث

۸۵.....	۱-۳ مقدمه
۸۵.....	۲-۳ مدل عددی
۸۷.....	۳-۳ نمایش نتایج سامانه کاسگرین
۸۹.....	۳-۳-۱ نمایش منحنی‌های برخورد پرتو و آنالیز برداری سامانه کاسگرین
۹۰.....	۳-۳-۲ نمایش نتایج طرح نقطه‌ای و آنالیز لکه هندسی سامانه کاسگرین
۹۱.....	۳-۳-۳ نمایش نتایج بازسازی و آنالیز جبهه موج سامانه کاسگرین
۹۳.....	۳-۴ نمایش نتایج تابع پخش شدگی و طرح شدت انرژی سامانه کاسگرین
۹۴.....	۳-۴ نمایش نتایج سامانه استیگماتیسم
۹۵.....	۳-۴-۱ نمایش منحنی‌های برخورد پرتو و آنالیز برداری سامانه استیگماتیسم
۹۶.....	۳-۴-۲ نمایش نتایج طرح نقطه‌ای و آنالیز لکه هندسی سامانه استیگماتیسم
۹۷.....	۳-۴-۳ نمایش نتایج بازسازی و آنالیز جبهه موج سامانه استیگماتیسم
۹۹.....	۳-۴-۴ نمایش نتایج تابع پخش شدگی و طرح شدت انرژی سامانه استیگماتیسم
۱۰۰.....	۳-۵ نمایش نتایج سامانه آپلانتیک
۱۰۱.....	۳-۵-۱ نمایش منحنی‌های برخورد پرتو و آنالیز برداری سامانه آپلانتیک
۱۰۲.....	۳-۵-۲ نمایش نتایج طرح نقطه‌ای و آنالیز لکه هندسی سامانه آپلانتیک
۱۰۳.....	۳-۵-۳ نمایش نتایج بازسازی و آنالیز جبهه موج سامانه آپلانتیک
۱۰۴.....	۳-۵-۴ نمایش نتایج تابع پخش شدگی و طرح شدت انرژی سامانه آپلانتیک
۱۰۵.....	۳-۶ نمایش نتایج سامانه پاداستیگماتیسم
۱۰۵.....	۳-۶-۱ نمایش منحنی‌های برخورد پرتو و آنالیز برداری سامانه پاداستیگماتیسم

۳-۶-۲-نمایش نتایج طرح نقطه‌ای و آنالیز لکه هندسی سامانه پادآستیگماتیسم.....	۱۰۶
۳-۶-۳-نمایش نتایج بازسازی و آنالیز جبهه موج سامانه پادآستیگماتیسم.....	۱۰۸
۳-۶-۴-نمایش نتایج تابع پخش شدگی و طرح شدت انرژی سامانه پادآستیگماتیسم.....	۱۰۹
۳-۷-نمایش نتایج سامانه Quasi-RC.....	۱۱۰
۳-۷-۱-نمایش منحنی‌های برخورد پرتو و آنالیز برداری سامانه Quasi-RC.....	۱۱۱
۳-۷-۲-نمایش نتایج طرح نقطه‌ای و آنالیز لکه هندسی سامانه Quasi-RC.....	۱۱۱
۳-۷-۳-نمایش نتایج بازسازی و آنالیز جبهه موج سامانه Quasi-RC.....	۱۱۲
۳-۷-۴-نمایش نتایج تابع پخش شدگی و طرح شدت انرژی سامانه Quasi-RC.....	۱۱۴
۳-۸-نتیجه گیری.....	۱۱۵
۳-۹-پیشنهادات.....	۱۱۶
۴-پیوست.....	۱۱۷
۴-منابع.....	۱۲۱

..... ۵	شکل ۱-۱: تلسکوپ شکستی گالیله [۱]
..... ۶	شکل ۱-۲: تلسکوپ بازتابی نیوتون [۱]
..... ۷	شکل ۱-۳: تلسکوپ بازتابی کاسگرین [۱]
..... ۷	شکل ۱-۴: ترکیب عدسی flint-crown
..... ۸	شکل ۱-۵: تلسکوپ اشمیت- کاسگرین
..... ۱۰	شکل ۱-۶: روش‌های اپتیک فعال: (الف) حلقه باز. (ب) حلقه بسته [۱۴]
..... ۱۱	شکل ۱-۷: سامانه اپتیک فعال تلسکوپ NTT در ESO [۱۱]
..... ۱۳	شکل ۱-۸: فرکانس فضایی و فرکانس فضایی زاویه‌ای [۱۲]
..... ۱۷	شکل ۱-۹: بازسازی جبهه موج از اندازه‌گیری شب مکانی [۶]
..... ۱۸	شکل ۱-۱۰: طرح آزمون هارتمن: یک پرتو ورودی تحت زاویه α نسبت به محور اپتیکی، با فاصله Δ از محور اپتیکی مت مرکز می‌شود [۱۸]
..... ۱۹	شکل ۱-۱۱: طرح حسگر هارتمن: یک جبهه موج تخت ورودی روی ماسک هارتمن یک طرح منظم از لکه‌ها را ایجاد می‌کند در حالی که جبهه موج دارای ابیراهی یک طرح بی‌نظم را ایجاد می‌کند، انحراف هر لکه منظم به شبیه جبهه موج در روزنہ بستگی دارد [۱۰]
..... ۲۰	شکل ۱-۱۲: طرح حسگر Shack- Hartmann: هر دسته عدسی شبیه جبهه موج را میانگین‌گیری می‌کند و یک لکه روی CCD تولید می‌کند [۱۹]
..... ۲۱	شکل ۱-۱۳: اصول آرایه CCD: (الف) به‌طور متناوب، ولتاژ مثبت و منفی به الکترودها اعمال می‌شود. (ب) این کار باعث می‌شود حامل‌های بارداری که توسط فوتون‌ها تولید شده‌اند به دیود بعدی جابه‌جا شوند.
..... ۲۲	شکل ۱-۱۴: اندازه‌گیری جابه‌جایی لکه‌ها برای جبهه موج ابیراهی دار [۲۵]
..... ۲۷	شکل ۱-۱۵: چندجمله‌ای زرنیک تا مرتبه پنجم [۲۷]
..... ۲۸	شکل ۱-۱۶: (الف) پرتوهای همگرا: جبهه موج یک شعاع مثبت از انحنا دارد، (ب) پرتوهای موازی: جبهه موج تحت است و (ج) پرتوهای واگرا: جبهه موج یک شعاع منفی از انحنا دارد [۲۹]
..... ۲۹	شکل ۱-۱۷: سیستم مختصات [۳۰]
..... ۳۱	شکل ۱-۱۸: همارزی پرتوها به‌وسیله تقارن چرخشی [۳۴]
..... ۳۳	شکل ۱-۱۹: ابیراهی‌های اصلی تکرنگ [۳۴]
..... ۳۴	شکل ۱-۲۰: مختصات قطبی برای مردمک [۳۴]
..... ۳۵	شکل ۱-۲۱: یک عدسی همگرای ساده با ابیراهی کروی فرود رستیده. هرچه پرتوها از محور دورتر باشند، در کانونی نزدیکتر به عدسی همگراییده می‌شوند [۳۱]
..... ۳۵	شکل ۱-۲۲: نمایش ترسیمی ابیراهی کروی (الف) ابیراهی طولی، ابیراهی کروی طولی (LA) بر حسب

ارتفاع پرتو(Y) رسم شده است.(ب)ابراهی عرضی، ارتفاع نقطه برخورد پرتو در صفحه مرجع پیرامحوری(H') بحسب شبیه پایانی پرتو(tan u') رسم شده است[۳۱].	۳۶
شکل ۱-۲۳: هنگامی که کما وجود داشته باشد پرتوهایی که از بخش‌های بیرونی عدسی می‌گذرند در ارتفاع متفاوتی کانونی می‌شوند تا پرتوهایی که از ناحیه مرکزی عدسی می‌گذرند[۳۱].	۳۷
شکل ۱-۲۴: تشکیل کمای مماسی و کمای افقی[۳۴].	۳۹
شکل ۱-۲۵: آستیگماتیسم[۳۱].	۳۹
شکل ۱-۲۶: آستیگماتیسم اولیه یک عدسی: (الف) آستیگماتیسم فرودرستیده. (الف) آستیگماتیسم فرادرستیده[۳۵].	۴۰
شکل ۱-۲۷: واپیچش: (الف) واپیچش مثبت یا بالشی. (ب) واپیچش منفی یا بشکه‌ای[۱].	۴۲
شکل ۱-۲۸: کمیت‌های استفاده شده برای محاسبه ثابت شکست(قانون اسنل)[۳۴].	۴۳
شکل ۱-۲۹: بزرگنمایی عرضی[۳۵].	۴۴
شکل ۲-۱: نمایش شکست پرتو[۱].	۴۹
شکل ۲-۲: کانون پیرامحوری که همچنین کانون گاووسی نیز نامیده می‌شود[۳۵].	۵۱
شکل ۲-۳: ترسیم محروط سان‌ها با ثابت محروطشان[۳۵].	۵۴
شکل ۲-۴: پارامترهای مهم در تلسکوپ دو آینه‌ای[۱].	۵۶
شکل ۲-۵: تلسکوپ اشمیت- کاسگرین[۱].	۶۸
شکل ۲-۶: ارتباط بین تیغه مجازی در فضای شیئی با تیغه غیرکروی در فاصله g از مرکز کاسگرین[۱].	۶۹
شکل ۲-۷: طرح نقطه‌ای[۴۵].	۷۵
شکل ۲-۸: طرح شبکه‌ای مردمک[۴۵].	۷۶
شکل ۲-۹: انتخاب مرکز کره مرجع چنان‌که جبهه موج کمترین مقدار ابراهی را داشته باشد[۴۵].	۷۸
شکل ۲-۱۰: ارتباط بین مختصات تصویر و مردمک خروجی برای محاسبه تابع پخش شدگی[۴۵].	۸۰
شکل ۳-۱: طرح نهایی تلسکوپ اشمیت- کاسگرین.	۸۶
شکل ۳-۲: منحنی‌های برخورد پرتو سامانه کاسگرین: الف- ابراهی کروی طولی، ب- ابراهی کروی مرتبه سوم.	۸۹
شکل ۳-۳: طرح نقطه‌ای سامانه کاسگرین.	۹۰
شکل ۳-۴: طرح جبهه موج سامانه کاسگرین.	۹۳
شکل ۳-۵: سامانه کاسگرین: الف- تابع پخش شدگی، ب- طرح شدت انرژی.	۹۴
شکل ۳-۶: منحنی برخورد سامانه استیگماتیسم: الف- ابراهی کروی طولی، ب- ابراهی کروی مرتبه سوم.	۹۶

۹۷.....	شکل ۷-۳: طرح نقطه‌ای سامانه استیگماتیسم.
۹۸.....	شکل ۸-۳: طرح جبهه موج سامانه استیگماتیسم
۹۹.....	شکل ۹-۳: سامانه استیگماتیسم: الف- تابع پخش شدگی، ب- طرح شدت انرژی.....
۱۰۰.....	شکل ۱۰-۳: منحنی برخورد سامانه آپلانتیک: الف- ابیراهی کروی طولی، ب- ابیراهی کروی مرتبه سوم.
۱۰۱.....	
۱۰۲.....	شکل ۱۱-۳: طرح نقطه‌ای سامانه آپلانتیک.
۱۰۳.....	شکل ۱۲-۳: طرح جبهه موج سامانه آپلانتیک.....
۱۰۴.....	شکل ۱۳-۳: سامانه آپلانتیک: الف- تابع پخش شدگی، ب- طرح شدت انرژی.....
۱۰۵.....	شکل ۱۴-۳: منحنی برخورد سامانه آپلانتیک: الف- ابیراهی کروی طولی، ب- ابیراهی کروی مرتبه سوم.
۱۰۶.....	
۱۰۷.....	شکل ۱۵-۳: طرح نقطه‌ای سامانه پاد آستیگماتیسم
۱۰۸.....	شکل ۱۶-۳: طرح جبهه موج سامانه پاد آستیگماتیسم.....
۱۰۹.....	شکل ۱۷-۳: سامانه پاد آستیگماتیسم: الف- تابع پخش شدگی، ب- طرح شدت انرژی.....
۱۱۰.....	شکل ۱۸-۳: منحنی برخورد سامانه Quasi-RC: الف- ابیراهی کروی طولی، ب- ابیراهی کروی مرتبه سوم.
۱۱۱.....	
۱۱۲.....	شکل ۱۹-۳: طرح نقطه‌ای Quasi-RC
۱۱۳.....	شکل ۲۰-۳: طرح جبهه موج سامانه Quasi-RC
۱۱۴.....	شکل ۲۱-۳: سامانه Quasi-RC: الف- تابع پخش شدگی، ب- طرح شدت انرژی.....

جدول ۱-۱: توان‌های ابیراهی اصلی جبهه موج در مختصات جسم(y) و مختصات مردمک(r).[۳۱]	۴۲
جدول ۲-۱: تطابق ضرایب بسط سری با ضرایب سیدل [۳۱].	۴۵
جدول ۱-۲: شکل تلسکوپ کاسگرین: علامت کمیت‌های ردیابی پرتو پیرامحوری.	۴۹
جدول ۲-۲: طبقه بندی مخروطسان‌ها با ثابت مخروطسان [۳۲].	۵۳
جدول ۱-۳: پارامترهای پیرامحوری تلسکوپ اشمیت- کاسگرین در مقیاس متر.	۸۷
جدول ۲-۳: مشخصات فیزیکی تیغه اشمیت.	۸۷
جدول ۳-۳: مقادیر پیرامحوری سامانه کاسگرین.	۸۸
جدول ۴-۳: ضرایب سیدل سامانه کاسگرین در مقیاس میلی متر.	۸۸
جدول ۳-۵: ضرایب ابیراهی جبهه موج سامانه کاسگرین.	۹۲
جدول ۳-۶: مقادیر پیرامحوری سامانه استیگماتیسم.	۹۴
جدول ۷-۳: ضرایب سیدل سامانه استیگماتیسم در مقیاس میلی متر.	۹۵
جدول ۸-۳: ضرایب ابیراهی جبهه موج سامانه استیگماتیسم.	۹۸
جدول ۹-۳: مقادیر پیرامحوری سامانه آپلانتیک.	۱۰۰
جدول ۱۰-۳: ضرایب سیدل سامانه آپلانتیک در مقیاس میلی متر.	۱۰۰
جدول ۱۱-۳: ضرایب ابیراهی جبهه موج سامانه آپلانتیک.	۱۰۳
جدول ۱۲-۳: مقادیر پیرامحوری سامانه پاد استیگماتیسم.	۱۰۵
جدول ۱۳-۳: ضرایب سیدل سامانه پاد استیگماتیسم در مقیاس میلی متر.	۱۰۵
جدول ۱۴-۳: ضرایب ابیراهی جبهه موج سامانه استیگماتیسم.	۱۰۸
جدول ۱۵-۳: مقادیر پیرامحوری برای سامانه Quasi-RC.	۱۱۰
جدول ۱۶-۳: ضرایب سیدل سامانه Quasi-RC در مقیاس میلی متر.	۱۱۰
جدول ۱۷-۳: ضرایب ابیراهی جبهه موج سامانه Quasi-RC.	۱۱۳
جدول ۱: ضرایب زرنيك تا مرتبه پنجم.	۱۱۹
جدول ۲: ضرایب زرنيك از مرتبه پنجم تا مرتبه هشتم.	۱۲۰

مقدمه

می‌توان بخشی از پیشرفت‌های بزرگ امروز علم ستاره‌شناسی را مدیون تلسکوپ‌های بزرگ (کلاسیکی و مدرن) دانست. تلسکوپ‌های عظیم‌الجثه امروزی، دارای تکنولوژی‌های پیشرفته، پانل‌های کنترل کننده سامانه و کارآیی بالایی هستند. اندازه ساختاری و تکنولوژی تلسکوپ‌های امروزی و همچنین مطالبات علمی برای درک عمیق از عالم هستی، سبب مطرح شدن علم اخترفیزیک به عنوان دانشی مهم و حیاتی شده است.

از حدود ۴۰۰ سال پیش که بشر توانست اجرام آسمانی را با چشم مسلح ببیند، تغییرات چشمگیری در زمینه اندازه و کارآمدی تلسکوپ شده است به طوری که تلسکوپ‌های موجود در دنیا مثلاً تلسکوپ آرسیبو^۱ در آمریکا قطری حدود ۳۰۰ متر (که ساختار آن گریگوری است) یا تلسکوپ Keck قطری برابر ۱۰ متر داشته باشد.

در ۲۰ سال اخیر تلسکوپ‌ها از لحاظ اندازه قطر مردمک ورودی، پیشرفت چشمگیری داشتند. به طوری که این امر عامل افزایش سه برابری نورجمع‌آوری شده توسط تلسکوپ‌ها شده است. با این حال اندازه و دقت یک تلسکوپ تنها معیارهای مهم در ساخت آن نیستند بلکه بهره‌برداری موثر از یک تلسکوپ و توانایی اندازه‌گیری و کنترل سریع از ویژگی‌های مهم در ساختار یک تلسکوپ است.

استفاده از تداخل‌سنجهای بزرگ از پیشرفت‌های قابل ذکر در ساختار تلسکوپ‌ها می‌باشد. توان تفکیک این تداخل‌سنجهای هزاران مرتبه بهتر از توان تفکیک تلسکوپ‌های بزرگ است و کشف چنین تداخل‌سنجهایی پیشرفت مهمی در زمینه اپتیک تداخل‌سنجه به شمار می‌آید.

¹Arecibo

از پیشرفت‌های قابل توجه دیگر در زمینه ساختار تلسکوپ‌های مدرن استفاده از اپتیک فعال^۱ یا تطبیقی^۲ است.

تلسکوپ‌های بزرگ پیشین که ساختاری غیرفعال داشتند و از هیچ وسیله اصلاح کننده داخلی، برای بهبود کیفیت تصویر استفاده نمی‌شد در نتیجه نیاز به استفاده از آینه‌های محکم با ضریب انبساط گرمایی پایین بود، به طوری که این عمل باعث افزایش وزن آینه و هزینه طرح می‌شد.

برای کاهش وزن آینه‌ها و هزینه طرح، ساختار اپتیک سبک وزن پیشنهاد شد که در این ساختار از ابزار built-in به عنوان تنظیم‌کننده داخلی استفاده کردند تا میزان نوسانات گرمایی و گرانشی کاهش یابد. بنابراین ابزار تنظیم کننده شکل و فاصله آینه‌ها، که در فرکانس فضایی پایین حدود چند هرتز کار کند به عنوان اپتیک فعال مطرح می‌شود.

اولین پیشرفت‌ها در زمینه اپتیک فعال در سال ۱۹۶۰ مطرح شد. در این روش امکان تبدیل سطوح اپتیکی کروی به غیرکروی وجود دارد که باعث کاهش خطاهای آینه‌های تلسکوپ شده و موقعیت کنترل آینه‌ها به وسیله تغییر انحنایها ایجاد می‌شود و در نتیجه عملکرد محدودیت پراش به دست می‌آید.

سامانه اپتیک فعال برای اولین بار در سال ۱۹۸۹ در تلسکوپ NTT^۳ واقع در رصدخانه اروپا (ESO) و در سال ۱۹۹۲ برای تلسکوپ Keck (۱۰ متری) با آینه اصلی چند تکه، مورد استفاده قرار گرفت.

در فصل اول پایان‌نامه ساختار اپتیک فعال و اجزای مورد استفاده شده در این ساختار از جمله حسگر جبهه موج، آشکارساز و باسازی جبهه موج با استفاده از چند جمله‌ای‌های زرنیک را بیان کرده‌ایم. سپس

¹Active Optics

²Adptive Optics

³New Technology Telescope

به تعریفی از موج و نور و توصیف آن در قالب چندجمله‌ای‌ها پرداخته‌ایم و در ادامه ارتباط بین چندجمله‌ای‌ها با ابیراهی‌ها، توصیف هریک از ابیراهی‌ها و ارتباط آنها با جمع‌های سیدل را بیان کرده‌ایم.

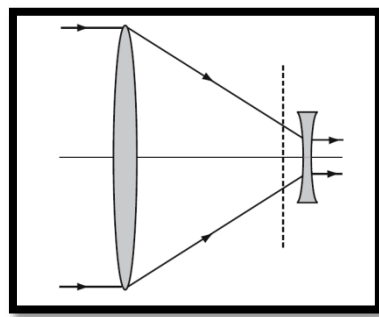
در فصل دوم ردیابی پرتو، مخروطسان‌ها، به‌دست آوردن ابیراهی در هریک از سطوح و تصحیح آن‌ها به- همراه روش‌های ارزیابی تصویر را شرح داده‌ایم.

در فصل سوم این پایان‌نامه ابیراهی‌های موجود در یک تلسکوپ دو آینه‌ای را مورد بررسی و مطالعه قرار داده‌ایم و تصحیحات لازم را به‌وسیله نرم‌افزار اسلو بر روی سطوح اپتیکی اجرا کرده‌ایم و در آخر تصاویر به‌دست آمده برای هریک از حالت‌های ذکر شده در فصل دوم، نمایش داده شده است.

۱ بررسی منابع

۱-۱ تاریخچه ساخت تلسکوپ

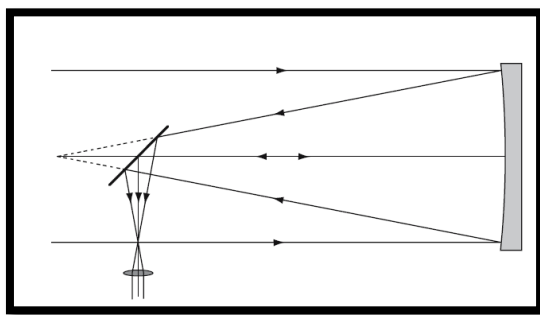
هزاران سال بود که رصد ستارگان فقط از راه چشم غیرمسلح انجام می‌گرفت. اولین مدارک استفاده از تلسکوپ مربوط به تلسکوپ شکستی است که در سال ۱۶۰۸ در هلند پدیدار شد و پیشافت آن به سه نفر نسبت داده می‌شود: هانس لیپرشی و زاخاریاس جانسون که در میدلبورخ و جاکوب میتیوس در شهر آلمار عینک ساز بودند. لیپرشی با کنار هم گذاشتن چند عدسی توانسته بود وسیله‌ای بسازد که اجسام دور را بزرگ‌تر نشان دهد. اما بدون شک اولین مخترع تلسکوپ شکستی گالیله شناخته شده است. او بود که برای اولین بار با استفاده از دو عدسی که خود ساخته بود توانست آسمان را رصد کند و به مشاهده ماه، قمرهای مشتری و سایر اجرام آسمانی بپردازد. بزرگ‌نمایی اولین تلسکوپ گالیله حدود ۳ برابر بود، ولی بعدها توانست تلسکوپی با بزرگ‌نمایی ۳۰ برابر نیز بسازد. با این وجود تلسکوپ‌های گالیله کیفیت بالایی نداشتند و دلیل آن مشکل بودن ساخت عدسی و همچنین وجود شیشه‌های نامرغوب بود.



شکل ۱-۱: تلسکوپ شکستی گالیله [۱].

استفاده از آینه خمیده به جای عدسی، مدت کمی پس از اختراع تلسکوپ شکستی محقق شد. مزایای استفاده از آینه‌های سهمی گون بجای عدسی، از جمله کاهش ابیراهی کروی و عدم وجود ابیراهی رنگی باعث شد تعداد زیادی طرح پیشنهادی و چندین تلاش برای ساخت آینه بازتابی صورت گیرد و بالاخره

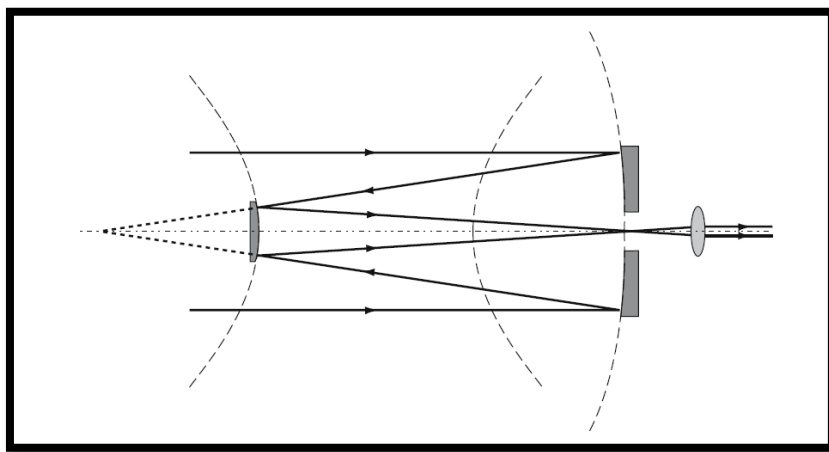
در سال ۱۶۶۸ ایزاک نیوتون اولین تلسکوپ بازتابی کاربردی را ساخت که بعدها تلسکوپ بازتابی نیوتونی نام گرفت. وسیله او از یک آینه مقعر و یک آینه تخت تشکیل می‌شد که در یک لوله قرار گرفته بودند. آینه تلسکوپ نیوتون از فلز ساخته شده بود و قطری در حدود ۵ سانتی متر داشت.



شکل ۲-۱: تلسکوپ بازتابی نیوتون [۱].

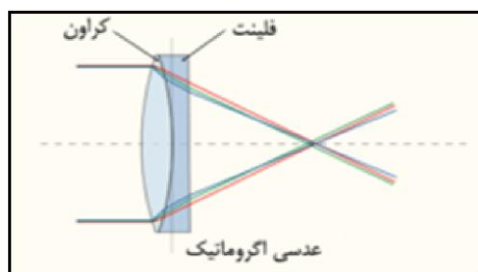
حدود ۴ سال بعد از اختراع نیوتون فردی بنام فرانچمن ان. کاسگرین طرح جدیدی را برای تلسکوپ نیوتون ارائه کرد. در این طرح، نور بازتاب شده از آینه مقعر به جای بازتاب از آینه تخت به وسیله یک آینه محدب به پشت لوله ارسال می‌شود. مهمترین مزیت این طرح کوتاه‌تر شدن طول لوله تلسکوپ در حدود نصف طول اولیه بود و این امر برای تلسکوپ‌های غول پیکر امروزی بسیار اهمیت می‌یابد. با این وجود طرح کاسگرین مورد استقبال قرار نگرفت و سال‌ها بعد دانشمندان به اهمیت آن پی بردند.

اختراع عدسی بی‌رنگ در سال ۱۷۳۳ خطای رنگی را اندکی تصحیح کرد و امکان ساخت عدسی‌هایی با فاصله کانونی کمتر که به کوتاه شدن لوله تلسکوپ می‌انجامید را فراهم ساخت. تلسکوپ‌های بازتابی اگرچه ابیراهی رنگی نداشتند، ولی طی قرن ۱۸ و ۱۹ آینه فلزی آنها (ساخته شده از مس و قلع) به سرعت تیره می‌شد. این مشکل با اندود کردن سطح شیشه با نقره در ۱۸۵۷ یا آلومینیم در سال ۱۹۳۲ حل شد.



شکل ۱-۳: تلسکوپ بازتابی کاسگرین [۱].

در سال ۱۹۳۰ عینک سازی بنام برنارد اشمیت وسیله جدیدی اختراع کرد. در این طرح یک تیغه شیشه‌ای بر دهنۀ تلسکوپ‌های بازتابی قرار می‌گرفت و ابیراهی کروی را از بین می‌برد و دیگر احتیاجی به ساخت آینه‌های سهموی نبود. علاوه بر این، این نوع تلسکوپ‌ها میدان دید بسیار بالایی داشتند و اگر با سامانه کاسگرین ترکیب می‌شدند تلسکوپی بدهست می‌آمد که از هر جهت بر سایر تلسکوپ‌ها برتری داشت. امروزه بسیاری از منجمان نیمه آماتور از این تلسکوپ‌ها استفاده می‌کنند



شکل ۱-۴: ترکیب عدسی .flint-crown